ANALISIS SISTEM PROTEKSI DIRECTIONAL OVER CURRENT RELAYS (DOCR) DENGAN INTERKONEKSI DISTRIBUTED GENERATION (DG) PADA PENYULANG JOLOTUNDO

Bambang Prio Hartono, Eko Nurcahyo, Lauhil Mahfudz Hayusman

Abstrak: Keandalan dan kemampuan sistem tenaga listrik dalam suatu jaringan sangat tergantung pada sistem pengaman yang digunakan. Oleh sebab itu dalam perencanaan suatu sistem tenaga listrik, perlu dipertimbangkan kondisi-kondisi gangguan yang mungkin terjadi pada sistem melalui analisis gangguan hubung singkat. Gangguan hubung singkat merupakan salah satu gangguan yang sering timbul, baik itu gangguan satu fasa ke tanah dua fasa ke tanah antar fasa. Penelitian ini akan menganlisis sistem proteksi Directional Over Current Relay (DOCR). Directional Over Current Relay(DOCR) atau lebih dikenal dengan relay arus lebih yang mempunyai arah tertentu adalah relay pengaman yang bekerja karena adanya besaran arus dan tegangan serta dapat membedakan arah arus gangguan. Penelitian ini juga akan mencoba menganalisis pengaruh interkoneksi DistributedGeneration (DG) yaitu PLTMH Seloliman Mojokerto pada penyulang Jolotundo khususnya kenaikan arus lebih yang bisa berdampak pada sistem. Pemodelan dan simulasi menggunakan software ETAP power station. Hasil setting relay DOCR lebih sensitif dan selektif dibandingkan seting awal, yaitu dari t = 0.95 detik menjadi t = 0.23detik, setting relay lebih cepat 0,72 detik dari setting awal.

Kata kunci: gangguan hubung singkat, sistem proteksi, DG, DOCR

Distributed Generation (DG) adalah generator berskala kecil yang diparalel (dihubungkan) pada jaringan distribusi. Salah satu manfaat yang paling utama dari DG adalah dapat dioperasikan untuk sistem distribusi dengan mode Island, yaitu keadaan dimana pada mode ini sistem distribusi menjadi terisolasi secara elektrik dari seluruh sistem tenaga. Hal ini sangat bermanfaat untuk meningkatkan kualitas pasokan tenaga serta dapat di operasikan dalam mode *island* jika terjadi pemadaman.

Interkoneksi *DG* pada jaringan distribusi akan mempengaruhi operasi sistem distribusi, ada beberapa dampak positif dan negatifnya. Untuk dampak positif dari interkoneksi *DG* pada jaringan yakni mengurangi nilai jatuh tegangan dan mengurangi rugi - rugi daya, sedang dampak negatifnya adalah kemungkinan terjadinya simpatetik trip (sistem proteksi merespon secara salah atau tidak diharapkan) pada salah satu penyulang yang terdapat *DG*. Pada kondisi terhubung jaringan dan islanding arus hubung singkat memiliki nilai yang berbeda. Pada umumnya saluran transmisi memiliki arus hubung singkat yang lebig tinggi dibandingkan dengan arus hubung singkat pada saluran distribusi. Namun demikian, saat sistem distribusi dalam keadaan islanded arus gangguan yang perlu diamankan lebih rendah dari pada saat terhubung dengan saluran transmisi. Maka dari itu diperlukan pengaman yang adaptif.

Sistem proteksi *Directional Over Current Relay (DOCR)* atau relay arus lebih berarah merupakan salah satu jenis relay proteksi yang paling banyak digunakan pada sistem proteksi tenaga listrik. Relay arus lebih berarah digunakan untuk mendeteksi

Bambang Prio Hartono, Eko Nurcahyo & Lauhil Mahfudz Hayusman adalah Dosen Program Studi Teknik Listrik D-3 Fakultas Teknologi Industri Institut Teknologi Nasional Malang, Email: hayusman@gmail.com

adanya gangguan hubung singkat pada sistem yang mempunyai sumber lebih dari satu dan mempunyai jaringan yang membentuk loop. Prinsip kerja relay ini mempunyai dua buah parameter ukur yaitu tegangan dan arus yang masuk kedalam relay. Untuk membedakan arah arus ke depan atau arah arus kebelakang, maka salah satu phasa dari arus harus dibandingkan dengan tegangan pada fasa yang lain.

PERSAMAAN YANG DIGUNAKAN

Persamaan yang digunakan untuk menghitung dan menentukan parameter setting relay Directional Over Current Relay (DOCR) mengacu pada standard IEEE/ANSI. Tabel 1. menunjukan tabel perhitungan *DOCR*.

Tabel 1. IDMT standa	r inverse yang memak	ai standar IEC 60255

Karakteristik Relay	Standar IEC 60255
Standar Inverse (SI)	$T = TMS \times \frac{0.14}{\ln 0.00 - 1}$
Very Inverse (VI)	$T = TMS \times \frac{18.5}{kr-1}$
Extremely Inverse (EI)	$T = TMS \times \frac{80}{kr^2-1}$
Long time standart eart fault	$T = TMS \times \frac{120}{hr-1}$

Persamaan cara perhitungan setting relay dan parameter apa saja yang perlu di cari. Relay arus lebih berarah (DOCR) Arus nominal adalah arus kerja dari suatu peralatan listrik. $I_n = I_{base} = \frac{\text{Shase}}{\sqrt{3}\text{Vbase}}.$(1) Keterangan: : $I_{base} = Arus nominal (A)$ (2) : Daya semu (VA)(3) Tegangan (V)(4) V_{base} Ratio CT b. Ratio CT ditentukan dari arus nominal peralatan atau dari kabel pada umumnya. Rasio $CT = \frac{\text{primer}}{\text{sekunder}}$ (5) Arus yang mengalir melalui relay $I_{\text{relay}} = I_{\text{base}} \times \frac{1}{RattoCT}$ (6) Arus kerja relay (Standar *DOCR* 110%) $I_{\text{setOCR}} = 1.1 \text{ x } I_{\text{base}}.$ (7) Waktu operasi (Ts) Time setting (ts) adalah waktu yang dibutuhkan oleh suatu pengaman (relay) untuk kerja. $T_s = \frac{k}{(lset OCE)^{\alpha} - 1} \times TMS. \tag{8}$ Keterangan: TMS (time multiple setting): standar waktu setting relay K: konstanta standart inverse (0.14) a: konstanta standar inverse (0.02) Persamaan yang digunakan untuk menghitung setting relay DOCR yakni: $I_{\text{set}} \text{ primer} = 1,05 \text{ x } I_{\text{n}}$ (9) $I_{\text{set}} \text{ sekunder } = I_{\text{set}} \text{primer } x \frac{1}{\text{ratio CT}}$ (10)(11) **TMS**

Keterangan:

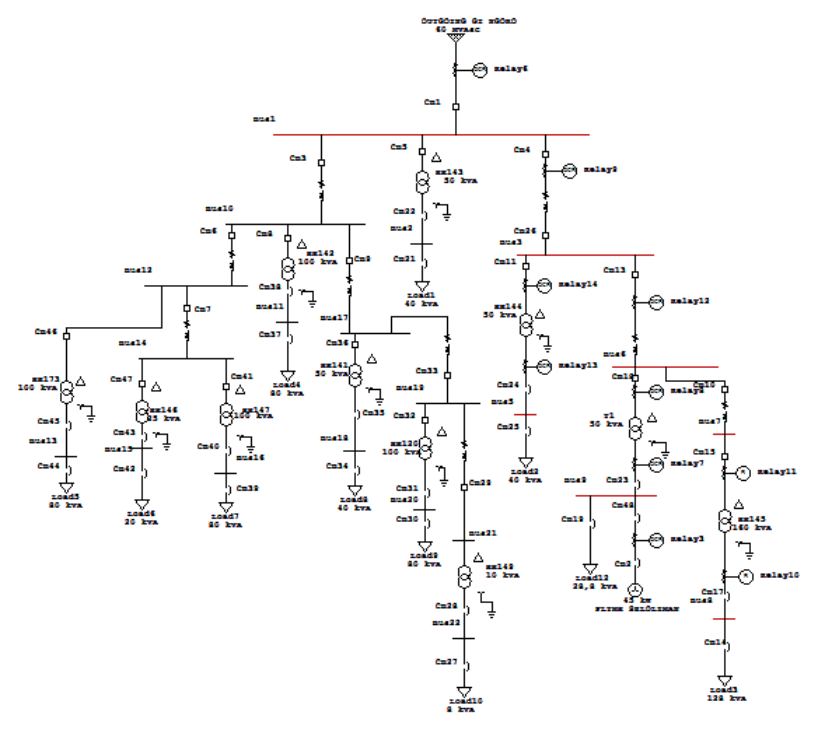
 I_{set} primer : Nilai arus primer yang di masukkan untuk penyetelan relay. I_{set} sekunder: Nilai arus sekunder yang di masukkan untuk penyetalan relay.

TMS : Standar waktu setting relay

HASIL DAN PEMBAHASAN

Pemodelan Sistem

Gambar 1. menunjukan hasil pemodelan Penyulang Jolotundo yang terinterkoneksi dengan DG (PLTMH Seloliman). Kapasitas daya yang dibangkitkan oleh PLTMH Seloliman sebesar P = 45 kW. Skripsi ini akan menganalisis kinerja relay *DOCR* untuk mendeteksi adanya arus lebih akibat interkoneksi DG dan akibat gangguan hubung singkat tiga fasa dan antar fasa.



Gambar 1. Pemodelan Penyulang Jolotundo dan PLTMH Seloliman

Sebelum melakukan perhitungan *setting relay*, terlebih dahulu dilakukan analisis hubung singkat yang bertujuan untuk mengetahui dan memperoleh nilai arus hubung singkat pada kondisi sebelum dan sesudah interkoneksi *DG* (PLTMH Seloliman).

Tabel 2. Menunjukan hasil perhitungan arus gangguan hubung singkat 3 fasa dan antar fasa sebelum dan sesudah interkoneksi DG. Terlihat bahwa semua bus mengalami kenaikan arus pada setiap gangguan yang dianalisis/diberikan. Kenaikan yang paling besar terjadi pada bus 9, dimana sebelum interkoneksi DG arus gangguan tiga fasa sebesar $I_{sc} = 1.022$ kA sesudah interkoneksi DG menjadi $I_{sc} = 1.414$ kA dan arus gangguan antar fasa sebelum interkoneksi DG sebesar $I_{sc} = 0.885$ kA sesudah interkoneksi DG menjadi $I_{sc} = 1.235$ kA. Hal ini didasari oleh kenyataan bahwa bus 9 adalah bus yang letaknya dekat dengan DG.

Tabel 2. Hasil perhitungan arus gangguan hubung singkat

		Sebelum per	nasangan DG	Setelah pemasangan DG			
Bus	kV	3 Phasa Fault	Line to Line	3 Phasa	Line to Line		
		(kA)	Fault (kA)	Fault (kA)	Fault (kA)		
Bus 1	20	1.767	1.530	1.773	1.535		
Bus 3	20	0.324	0.280	0.329	0.285		
Bus 5	0,38	1.078	0.934	1.079	0.935		
Bus 6	20	0.312	0.270	0.317	0.275		
Bus 7	20	0.172	0.149	0.174	0.150		
Bus 8	0,38	2.660	2.304	2.666	2.309		
Bus 9	0,4	1.022	0.885	1.414	1.235		

Sumber: (Hasil Analisis Short Sircuit pada Software ETAP, 2016)

Kondisi Awal Sistem

Data pada Tabel 3. merupakan data *directional over current relay* yang diperoleh di lapangan. Data tersebut akan dimasukan ke pemodelan sistem selanjutnya dianalisis untuk melihat kinerja relay (selektifitas dan kecepatan)

Tabel 3. Data directional over current relay

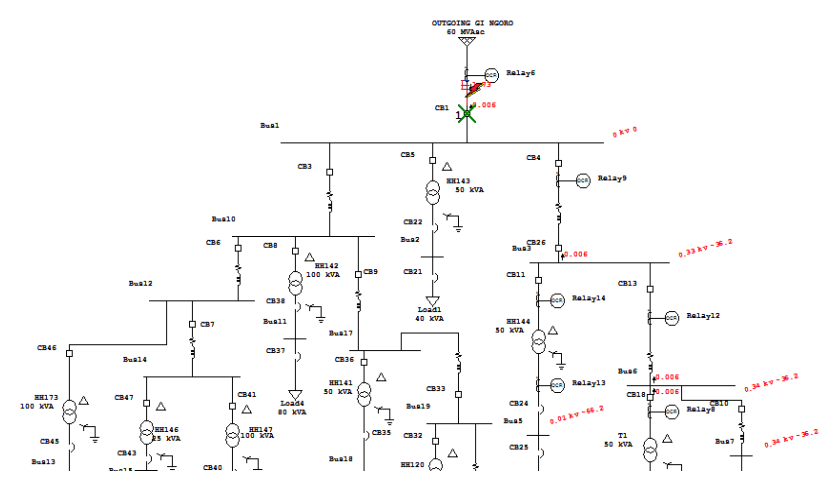
	CT P S		T. D. 1	Setting Phase-Phase				
Relay ID			Tipe Relay	OC	CR	TD	V	
			(Manufactur & Tipe)	P	S	(s)	Kurva	
Relay 3	1000	5	Areva-Micom P 123	1400	7	0.175	SI	
Relay 6	2000	5	Areva-Micom P 121	1000	2.5	0.180	SI	
Relay 7	400	5	Areva-Micom P 123	300	3.75	0.125	SI	
Relay 8	300	5	Square D-Spam 1000+	240	4	0.13	SI	
Relay 9	200	5	Areva-Micom P 121	112	2.8	0.087	SI	
Relay 10	400	5	Areva-Micom P 122	272	3.4	0.125	SI	
Relay 11	400	5	Areva-Micom P 122	300	3.75	0.15	SI	
Relay 12	400	5	Areva-Micom P 121	300	3.75	0.240	SI	
Relay 13	200	5	Areva-Micom P 121	160	4	0.95	SI	
Relay 14	200	5	Areva-Micom P 121	30	0.75	0.075	SI	

Sumber: (APJ Mojokerto, 2015)

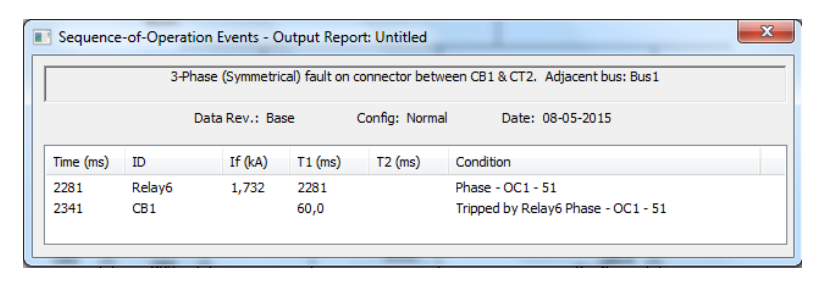
Analisis dilakukan dengan memberikan gangguan hubung singkat pada empat tempat yang berbeda, yaitu gangguan hubung singkat pada sisi sumber (fault at the utility), gangguan hubung singkat pada sisi beban (*fault at the load*), gangguan hubung singkat antara dua bus, dan gangguan hubung singkat pada sisi *DG* (PLTMH Seloliman).

Gangguan pada Sisi Utility

Gambar 2. memperlihatkan gangguan hubung singkat yang terjadi pada sisi sumber (*utility*). Pemutus tenaga tegangan tinggi (*CB1*) akan trip (terbuka), sehingga bus 1 akan lepas dari sumber (*utility*).



Gambar 2. Gangguan hubung singkat pada sisi sumber



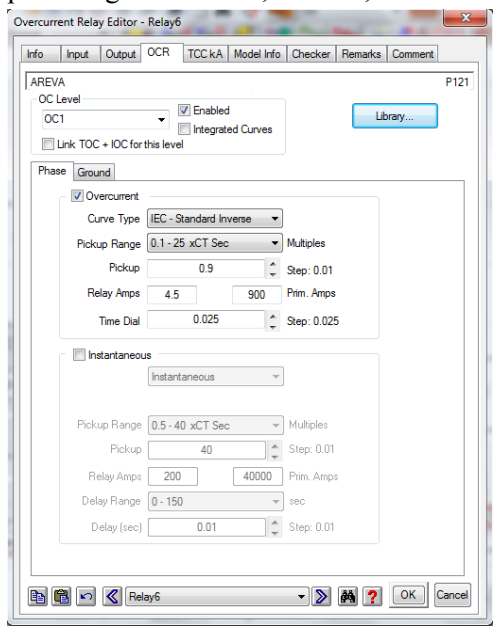
Gambar 3. Urutan operasi untuk gangguan hubung singkat pada sisi utility pada kondisi awal

- Relay 6

TM3 = 0.001 s

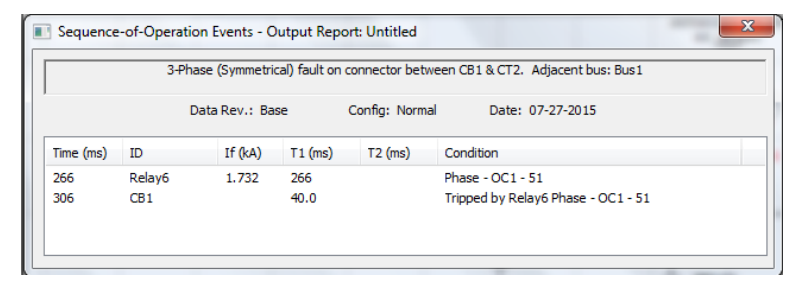
Arus gangguan (I_f) $1,773kA \approx 1773 A$ 2000:5 Rasio CT Arus Nominal (I_n) 60000 1.732 . 20 1732 A $1,05 . I_n$ I_{set (Primer)} 1,05 . 1732 $1818,7 A \approx 1819 A$ I_{set (Sekunder)} Rasio CT 4.5 A et (primer TMS =0,140,14

Karena nilai time dial/TMS manimal yang bisa dimasukan sebesar 0.025, maka nilai perhitungan TMS = 0,001 ≈ 0,025.



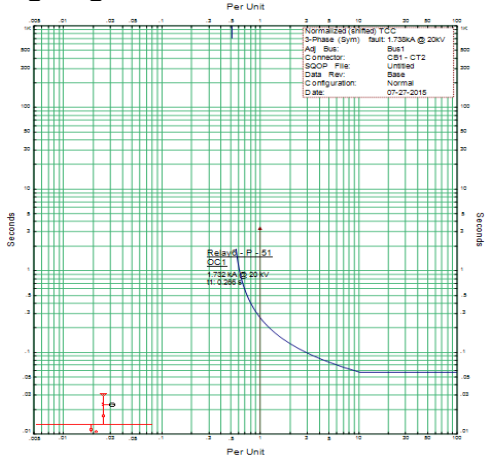
Gambar 4. Input data untuk hasil perhitungan setting relay 6

Urutan operasi dan kurva TCC untuk gangguan hubung singkat yang terjadi pada sisi utility ditunjukan pada Gambar 5. dan Gambar 6.



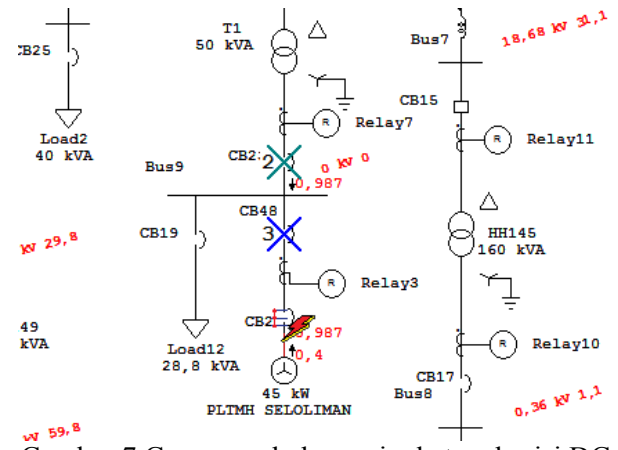
Gambar 5. Urutan operasi untuk gangguan hubung singkat pada sisi utility

Pada saat terjadi gangguan, relay 6 akan bekerja pada waktu 266 ms untuk arus gangguan sebesar 1.732 kA, relay 6 tersebut akan memerintahkan CB1 trip setelah delay selama 40 ms, gangguan tersebut dapat dibebaskan setelah 306 ms sejak terjadinya gangguan hubung singkat.



Gambar 6. Kurva TCC untuk gangguan hubung singkat pada sisi utility **Gangguan pada Sisi** *DG*

Gambar 7 memperlihatkan gangguan hubung singkat tiga fasa pada sisi DG. Pada saat terjadi gangguan, relay tidak bekerja secara selektif karena relay yang bekerja terlebih dahulu adalah relay 7 yang memerintahkan CB23 untuk trip, yang seharusnya bekerja terlebih dahulu adalah relay 3 yang memerintahkan CB2, CB48 untuk trip.



Gambar 7 Gangguan hubung singkat pada sisi DG

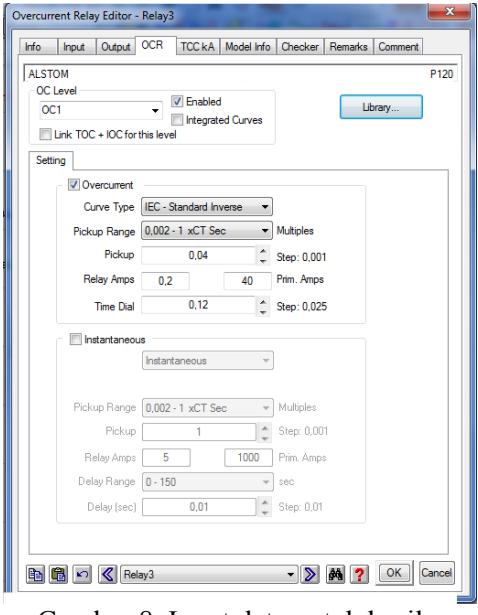
Perhitungan setting relay

- Relay 3

Arus Gangguan (I_f) = 1,414 kA $\approx I_f$ = 1414 A

Rasio CT = 1000:5

Menghitung arus nominal atau arus beban

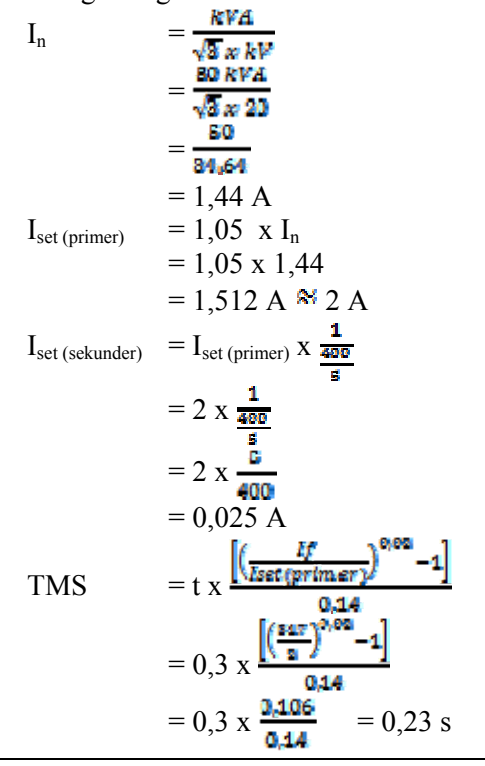


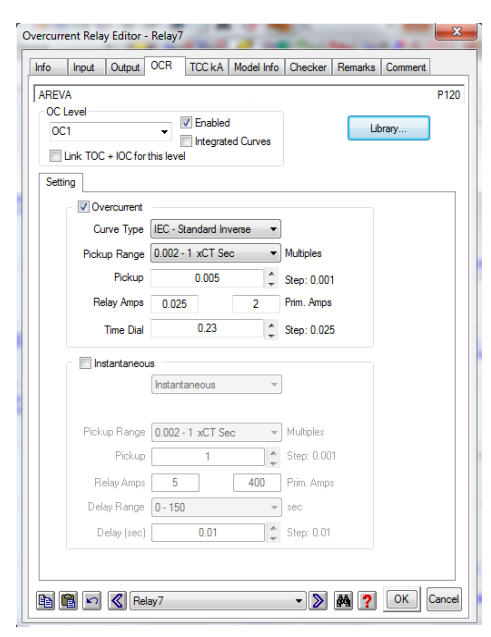
Gambar 8. Input data untuk hasil perhitungan setting relay 3

- Relay 7

Arus Gangguan (I_f) = 0,317 kA \approx 317 A Rasio CT = 400 : 5

Menghitung arus nominal atau arus beban

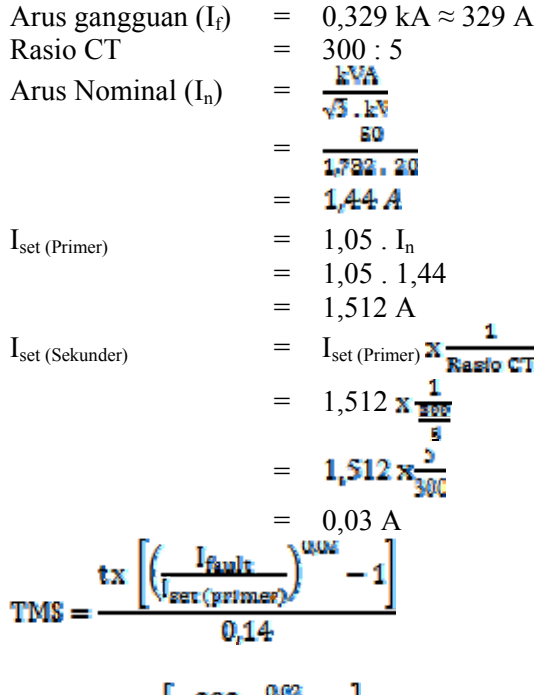


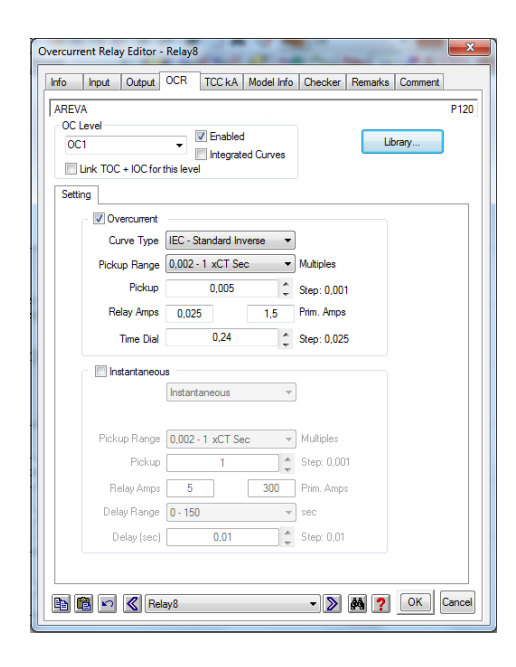


Gambar 9. Input data untuk hasil perhitungan setting relay 7

Analisis Sistem Proteksi *Directional Over Current Relays (Docr)* Dengan Interkoneksi *Distributed Generation (Dg)* Pada Penyulang Jolotundo

- Relay 8

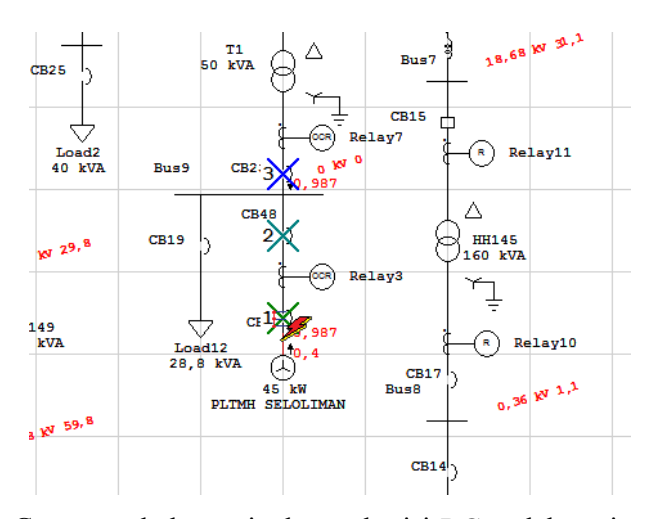




TMS = $\frac{0.3 \times \left[\left(\frac{329}{1.512} \right)^{0.62} - 1 \right]}{0.14}$ TMS = 0.24 s

Gambar 10. Input data untuk hasil perhitungan setting relay 8

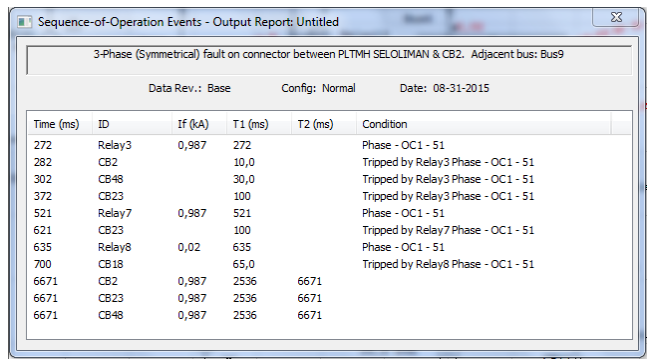
Gambar 11. memperlihatkan hasil simulasi gangguan hubung singkat pada sisi DG setelah dilakukan setting ulang relay.



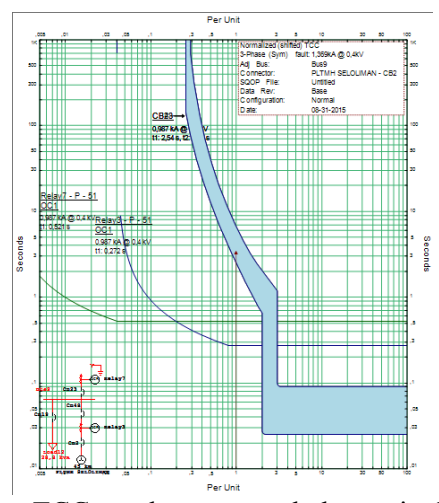
Gambar 11 Gangguan hubung singkat pada sisi DG setelah setting ulang relay

Urutan kerja relay dan kurva*TCC* dapat dilihat pada Gambar 12. dan Gambar 13.Pada saat terjadi gangguan, relay 3 akan bekerja pertama kali pada waktu 340 ms untuk arus gangguan sebesar 0,987 kA, relay 3 tersebut akan memerintahkan CB2 dan CB48 trip setelah delay selama 10 ms dan 30 ms. Apabila relay 3 gagal bekerja, maka relay 7 akan bekerja (backup relay) pada waktu 521 ms memerintahkan CB23 trip. Apabila relay 7 gagal bekerja, maka relay 8 akan bekerja (*backup relay*) pada waktu

703 ms memerintahkan CB18 trip. Gangguan tersebut dapat dibebaskan setelah 6671 ms sejak terjadinya gangguan hubung singkat.



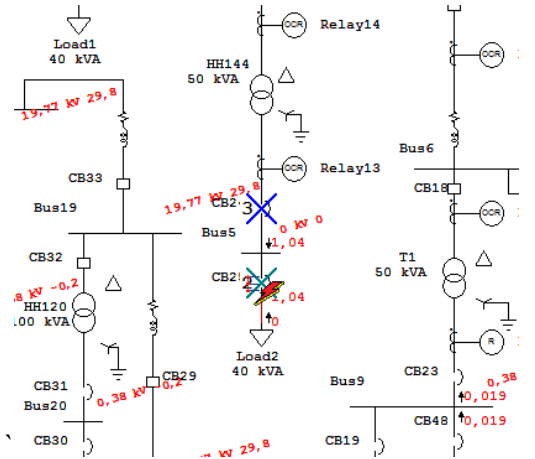
Gambar 12. Urutan kerja relay untuk gangguan hubung singkat pada sisi DG



Gambar 13 Kurva TCC untuk gangguan hubung singkat pada sisi DG

Gangguan pada Sisi Beban

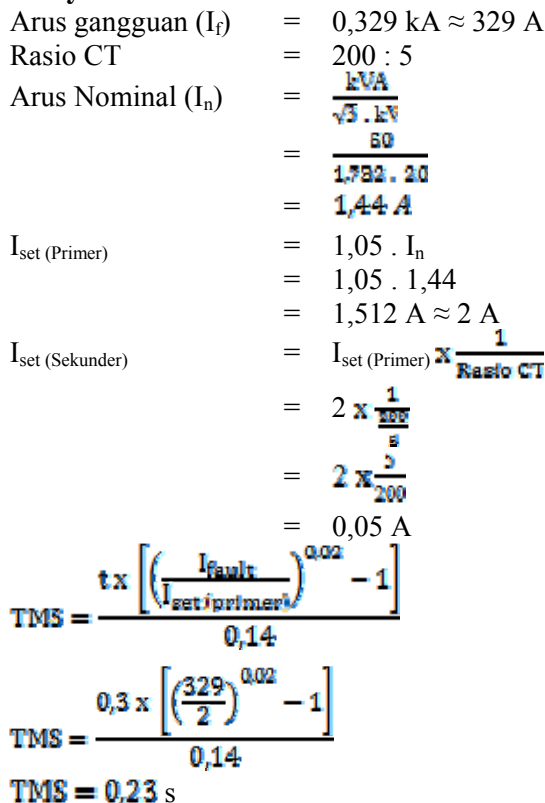
Gambar 14. memperlihatkan gangguan yang terjadi pada sisi beban. Pada saat terjadi gangguan hubung singkat terjadi kesalahan koordinasi antara relay 13 dan relay 7, kesalahan koordinasi relay tersebut menyebabkan gangguan yang terjadi tidak dapat dilokalisir dengan baik sehingga dibutuhkan setting ulang relay agar tidak terjadi kesalahan koordinasi relay.

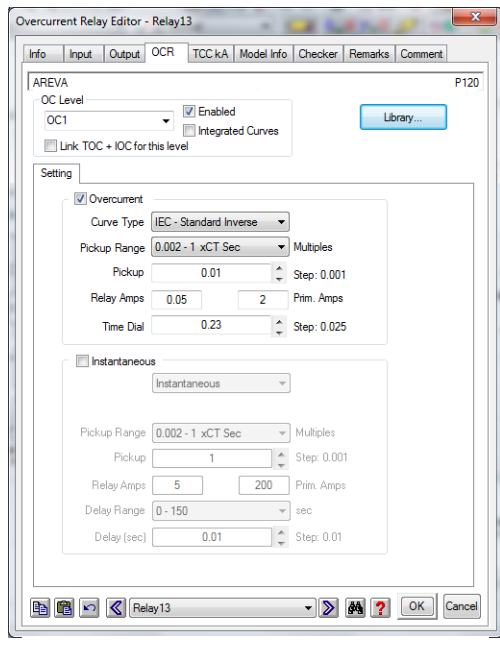


Gambar 14. Gangguan hubung singkat pada sisi beban

Perhitungan setting relay

- Relay 13



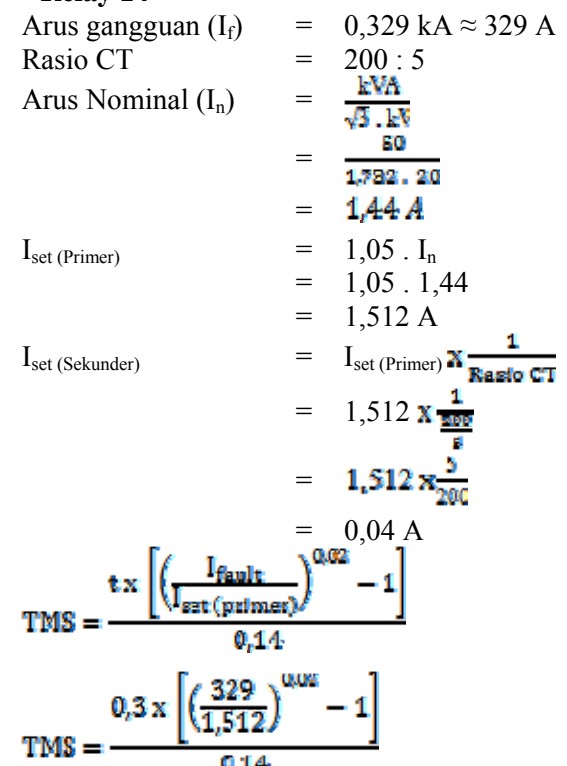


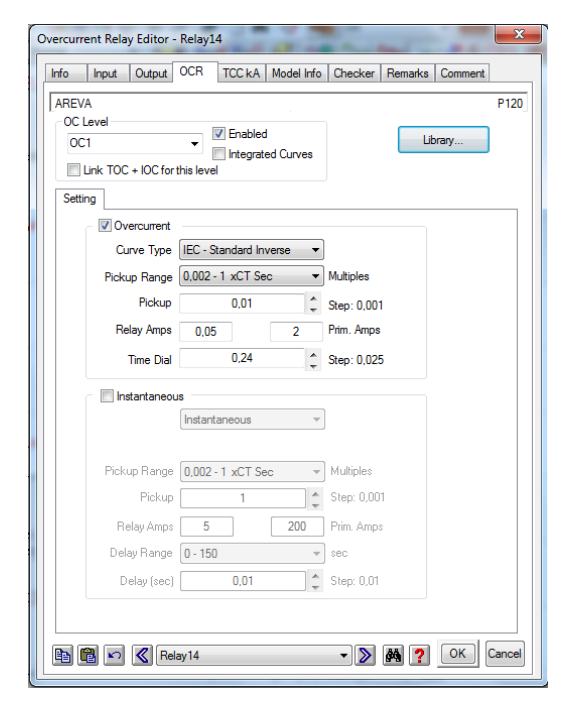
Gambar 15. Input data untuk hasil perhitungan setting relay 13

Perhitungan setting relay

- Relay 14

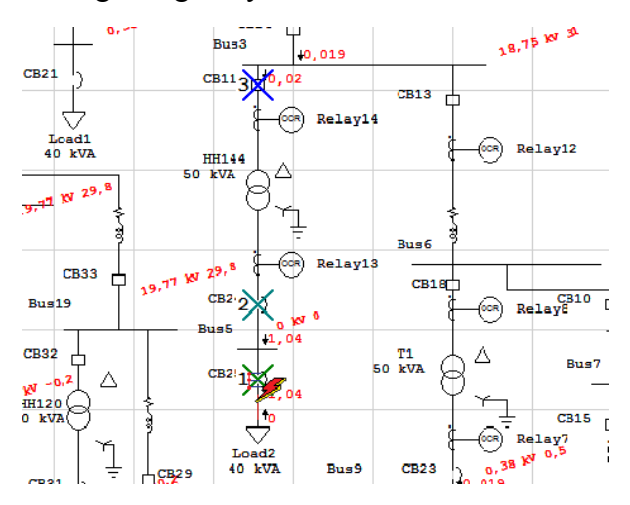
TMS = 0.24 s





Gambar 16. Input data untuk hasil perhitungan setting relay 14

Gambar 17 memperlihatkan hasil simulasi gangguan hubung singkat pada sisi beban setelah dilakukan setting ulang relay.

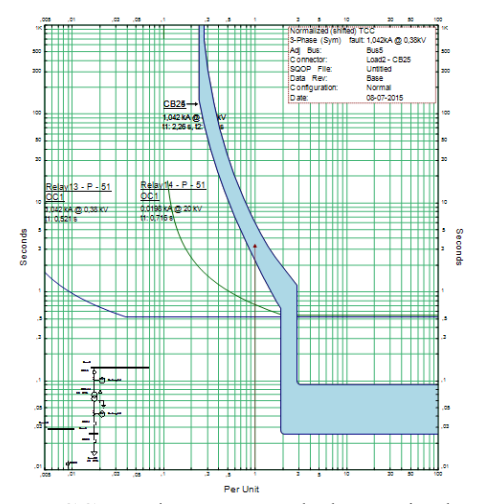


Gambar 17. Simulasi gangguan hubung singkat pada sisi beban setelah setting ulang relay

Urutan kerja relay dan kurva TCC dapat dilihat pada Gambar 18. dan Gambar 19. Pada saat terjadi gangguan, relay 13 akan bekerja pertama kali pada waktu 521 ms untuk arus gangguan sebesar 1.042 kA, relay 13 tersebut akan memerintahkan CB25 dan CB24 trip setelah delay selama 10 ms dan 60 ms. Apabila relay 13 gagal bekerja, maka relay 14 akan bekerja (backup relay) pada waktu 597 ms memerintahkan CB11 trip. Gangguan tersebut dapat dibebaskan setelah 5989 ms sejak terjadinya gangguan hubung singkat.

	3-Phase	e (Symmetrica	d) fault on o	connector betwee	n Load2 & CB25. Adjacent bus: Bus5
	D	ata Rev.: Ba	se	Config: Normal	Date: 08-07-2015
Time (ms)	ID	If (kA)	T1 (ms)	T2 (ms)	Condition
521	Relay13	1,042	521		Phase - OC1 - 51
531	CB25		10,0		Tripped by Relay 13 Phase - OC1 - 51
541	CB24		20,0		Tripped by Relay 13 Phase - OC1 - 51
621	CB11		100		Tripped by Relay 13 Phase - OC1 - 51
698	Relay7	0,019	698		Phase - OC1 - 51
716	Relay 14	0,02	716		Phase - OC1 - 51
798	CB23		100		Tripped by Relay7 Phase - OC1 - 51
816	CB11		100		Tripped by Relay 14 Phase - OC1 - 51
5989	CB24	1,042	2262	5989	
5989	CB25	1,042	2262	5989	

Gambar 18.Urutan kerja relay untuk gangguan hubung singkat pada sisi beban



Gambar 19. Kurva TCC untuk gangguan hubung singkat pada sisi beban

Perhitungan setting relay

Perhitungan setting relay

- **Relay 10**

Arus gangguan (
$$I_{\rm f}$$
) = 0,174 kA \approx 174 A
Rasio CT = 400 : 5

Arus Nominal ($I_{\rm n}$) = $\frac{kVA}{\sqrt{3} \cdot kV}$
= $\frac{160}{1.732 \cdot 20}$
= 4,62 A

I_{set (Primer)} = 1,05 · I_n
= 1,05 · 4,62
= 4,851 A \approx 5 A
I_{set (Sekunder)} = $I_{\rm set (Primer)} \times \frac{1}{Rasio CT}$
= 5 x $\frac{1}{400}$
= 5 x $\frac{1}{400}$
= 0,06 A

TMS = $\frac{1}{0.14}$

TMS = $\frac{0.3 \times \left[\left(\frac{174}{5}\right)^{0.02} - 1\right]}{0.14}$

TMS = $\frac{0.3 \times \left[\left(\frac{174}{5}\right)^{0.02} - 1\right]}{0.14}$

TMS = 0,15s

Arus Nominal ($I_{\rm n}$) = 0,329 kA \approx 329 A
Rasio CT = 400 : 5

Arus Nominal ($I_{\rm n}$) = 0,328 kA \approx 329 A
Rasio CT = 400 : 5

Arus Nominal ($I_{\rm n}$) = $\frac{kVA}{\sqrt{3} \cdot kV}$
= $\frac{50}{1.732 \cdot 20}$
= 1,44 A

I_{set (Primer)} = 1,05 · I_n
= 1,05 · I_n
= 1,05 · I_n
= 1,05 · I_n
= 1,512 A

I_{set (Sekunder)} = I_{set (Primer)} × $\frac{1}{Rasio CT}$
= 1,512 x $\frac{1}{400}$
= 0,019 A

TMS = $\frac{1}{0.14}$
TMS = $\frac{1}{0.14}$
TMS = $\frac{0.3 \times \left[\left(\frac{174}{5}\right)^{0.02} - 1\right]}{0.14}$
TMS = 0,25 s

Relay 12

Analisis Sistem Proteksi *Directional Over Current Relays (Docr)* Dengan Interkoneksi *Distributed Generation (Dg)* Pada Penyulang Jolotundo

Data pada tabel 4. Merupakan data *directional over current relay* yang telah dilakukan perhitungan ulang. Data tersebut akan dimasukkan ke dalam pemodelan sistem merubah settingan awal sistem untuk melihat kinerja relay apakah setting yang baru sudah sesuai dengan yang diharapakan.

Tabe	l 4	Data	directional	over	current	relay	setelah	ı dila	kukan	nerhi	tungan i	ılang
I uoc		Dutu	ancenona	OVCI	CULLICIU	1 Citty	Seteran	ullu	ixuixuii	PCIII	turisuri t	114115

	СТ		Setting 3 Phasa								
Relay ID			Se	ebelum 1	Perhitung	an	Sesudah Perhitungan				
Kelay ID			OCR		TD(a)	Kurv	DC	OCR	CR _{TD(a)}		
	P	S	P	S	TD(s)	a	P	S	TD(s)	Kurva	
Relay 3	1000	5	1400	7	0,175	SI	85,26	0,4	0,12	SI	
Relay 6	2000	5	1000	2.5	0,180	SI	1819	4,5	0,001	SI	
Relay 7	400	5	300	3.75	0,125	SI	2	0,025	0,23	SI	
Relay 8	300	5	240	4	0,13	SI	1,512	0,03	0,24	SI	
Relay 9	200	5	112	2.8	0,087	SI	1819	45,475	0,001	SI	
Relay 10	400	5	272	3.4	0,125	SI	5	0,06	0,15	SI	
Relay 11	400	5	300	3.75	0,15	SI	4,85	0,06	0,16	SI	
Relay 12	400	5	300	3.75	0,240	SI	1,512	0,019	0,25	SI	
Relay 13	200	5	160	4	0,95	SI	2	0,05	0,23	SI	
Relay 14	200	5	30	0.75	0,075	SI	1,512	0,04	0,24	SI	

KESIMPULAN DAN SARAN

Setelah melakukan perancangan dan menganalisa koordinasi proteksi arus lebih pada Penyulang Jolotundo dengan interkoneksi *Distributed Generation (DG)* maka kesimpulan yang dapat diambil adalah sebagai berikut :

- a. Integrasi DG dalam sistem distribusi merubah parameter arus beban contohnya terjadi pada bus 9 sebelum interkoneksi DG I = 39,8 A dan setelah interkoneksi DG I = 41,6 A terjadi kenaikan arus beban sebesar 1,8 A. Arus beban bertambah karena bus 9 dekat dengan DG.
- b. Integrasi DG meningkatkan arus gangguan terjadi juga pada bus 9 dengan nilai arus gangguan sebelum pemasangan DG pada gangguan 3 phasa sebesar I=1.022~kA, dan sesudah interkoneksi DG menjadi I=1.414~kA. Arus gangguan antar phasa sebelum interkoneksi DG sebesar $I_{sc}=0.885~kA$, sesudah interkoneksi DG menjadi $I_{sc}=1.235~kA$.
- c. Selektivitas relay pada bus 9 yang dengan koordinasi pada relay 3 tidak akan bekerja dengan optimal apabila setelan waktu kerjanya relay terlalu lama yakni t = 0,175 s untuk relay arus lebih. Apabila tetap menggunakan setelan awal maka terjadi kesalahan koordinasi antara relay 7. Kemudian setelah di setting ulang dan menggunakan relay *Directional Over Current Relays (DOCR)* pada relay 3 akan bekerja optimal dengan setelan sebesar t = 0,12 s untuk relay arus lebih, sehingga selektivitas koordinasi relay proteksi pada sistem akan bekerja optimal.

Untuk mengetahui selektivitas kerja relay pada interkoneksi *Distributed Generation* (*DG*) jika memungkinkan sebaiknya harus disertai data lapangan yang mencatat waktu dan lokasi terjadinya gangguan, jika nantinya aplikasi simulasi ini dapat diterapkan di lapangan agar dapat berjalan sesuai dengan apa yang diharapkan serta pengembangan dalam memproteksi sistem jaringan tegangan menengah khususnya yang terinterkoneksi *Distributed Generation* (*DG*).

DAFTAR PUSTAKA

- Anderson Anvenue, Markham, Ontario. 2001. Transformer Management Relay Instruction Manual. GE Power Management. Canada.
- Anderson Anvenue, Markham, Ontario. 2003. Network Protection & Automation Guide. GE Power Management. Canada.
- Jlewis, Blackburn "Protective Relaying "Principles And Applications" second edition. 2004.
- J. Horak. 2006. *Directional overcurrent relaying (67) concepts*. In Proc. 59thIEEE Conf. Protective Relay Engineers.
- Sukmawidjaja, Maula. 1995. Teori Soal Dan Penyelesaian Analisa Sistem Tenaga Listrik II. Jurusan Teknik Elektro Universitas Trisakti. Jakarta.
- Suswanto, Daman. 2009. Sistem Distribusi Tenaga Listrik. Universitas Negeri Padang.
- Sahoo, Kumar. Ashwin. 2014. Protection of microgrid through Coordinated Directional Over-Current Relay. IEEE Global Humanitarian Technology Conference South Asia Satellite (GHTC-SAS). Trivandum
- Marsudi, Djiteng. 2005. Pembangkitan Energi Listrik. Erlangga: Semarang
- Yudha, Hendra Martha 2008. Prinsip Rele dan Aplikasi. Universita Sriwijaya
- Zeineldin, H. H dkk. 2014. Optimal Protection Coordination for Meshed Distribution Systems With DG Using Dual Setting Directional Over-Current Relays. IEEE Transactions On Smart Grid.
- Zimmerman, Karl dan Costello, David. 2010. Fundamentals and Improvements for Directional Relays. 37th Annual Western Protective Relay Conference